



دانشکده علوم

پایان نامه برای دریافت درجه کارشناسی ارشد  
(گرایش شیمی آلی)

## پلیمریزاسیون اتیلن توسط کاتالیست های بر اساس فلز کبالت *Late transition metal*

استاد راهنما  
غلامحسین ظهوری

نگارش  
ابراهیم دیانت

مرداد ۸۸

تقدیم به

بهترین های زندگیم ،

پدر و مادر عزیزم که همواره از دریای مهر و محبتshan بهره جستم ،

خواهر و برادر عزیزم که مشوق من در زندگی من بوده اند.

علمایم و تمام کسانی که بهتر بودن را به من آموخته اند.

## تشکر و قدردانی

در تدوین این پایان نامه از مساعدت ها و رهنمودهای همه جانبه استاد ارجمند آقای دکتر غلامحسین ظهوری تشکر و قدردانی می کنم. همچنین از دوستان عزیزم آقایان دکتر رضا سندروس و دکتر سامان دماوندی و سایر دوستان که با حمایت های بی دریغشان مرا در انجام این پروژه یاری نموده اند سپاس گذاری نموده، توفیق و سر بلندی آنها را در تمامی مراحل زندگی آرزومندم.

## چکیده

کاتالیست ۲،۶-دی استیل پیریدین بیس (۲،۶ دی ایزوپروپیل فنیل ایمین) کجالت  $n$  کلرید تحت شرایط کنترل شده تهیه گردید و برای پلیمریزاسیون همگن اتیلن مورد استفاده قرار گرفت. متیل آلومینوکسان ( $MAO$ ) و تری ایزو بوتیل آلومینیوم ( $TIBA$ ) نیز به ترتیب به عنوان کمک کاتالیست و رباينده آلودگی در محیط پلیمریزاسیون مورد استفاده قرار گرفت. بالاترین اکتیویته کاتالیست در دمای  $30^{\circ}C$  بدست آمد در حالی که با افزایش دما اکتیویته کاهش یافت. در دمای بالاتر از  $50^{\circ}C$  علیرغم کاهش شدید در اکتیویته، محصول بدست آمده به صورت پلی اتیلن کاملاً روغنی حاصل شد. اکتیویته پلیمریزاسیون با افزایش فشار مونومر و همچنین میزان نسبت  $MAO/TIBA$  در پلیمریزاسیون همگن افزایش یافت، اما پدیده فولینگ رآکتور به مقدار زیادی با افزایش فشار مونومر و نسبت  $MAO/TIBA$  در پلیمریزاسیون همگن افزایش یافت. هیدروژن نیز به عنوان عامل انتقال زنجیر مورد استفاده قرار گرفت. اکتیویته کاتالیست و متوسط وزن مولکولی پلیمر حاصل، به غلظت هیدروژن حساسیتی از خود نشان ندادند. در حالی که متوسط وزن مولکولی پلیمر با افزایش فشار مونومر کاهش یافت. متوسط وزن مولکولی، دمای ذوب و درصد بلورینگی پلیمر حاصل در فشار مونومر ابار و دمای  $20^{\circ}C$  به ترتیب برابر  $10^5 \times 10^{-2}$ ،  $133^{\circ}C$  و ۶۷٪ بود. پلیمریزاسیون هتروژن اتیلن توسط سیلیکا ( $SiO_2$ ) صورت گرفت که در نتیجه آن مورفولوژی پلیمر بهبود یافت، در حالی که اکتیویته کاتالیست کاهش یافت. نکته قابل توجه اینکه پدیده فولینگ رآکتور با بکار بردن سیستم کاتالیستی ساپورت شده حذف شد.

## فهرست مطالب

۱.....	فصل اول: مقدمه ای بر پلیمریزاسیون کاتالیستی اتیلن.....
۲ .....	۱-۱ مقدمه.....
۲ .....	۲- تاریخچه پلیمریزاسیون کاتالیستی اتیلن.....
۳.....	۳-۱ کاتالیست زیگلر-ناتا.....
۵.....	۳-۲ کاتالیست های متالوسن .....
۶.....	۳-۲-۱ فعال سازی کاتالیست های متالوسن .....
۷.....	۳-۱ کاتالیست های <i>Late transition metal</i> .....
۸.....	۳-۱-۱ فرآیند <i>SHOP</i> .....
۹.....	۳-۲ ویژگی های کاتالیست های $\text{d}$ -دی ایمین .....
۱۰.....	۳-۳ لیگاندهای خنثی (پالادیوم و نیکل) .....
۱۰ .....	۳-۴ لیگاند های بیس ایمین سه دندانه (آهن و کبالت) .....
۱۴.....	۳-۵ سایر لیگاند ها .....
۱۷ .....	فصل دوم: معرفی کاتالیست ، سینیتیک ، مکانیسم و .....
۱۸ .....	۲-۱ مقدمه .....
۱۸ .....	۲-۲ تعریف کاتالیست های <i>Late transition metal</i> .....
۲۰.....	۲-۳ $\text{d}$ دی ایمین .....
۲۲ .....	۲-۴ ساختار کاتالیست .....
۲۶ .....	۲-۵ نقش اجزای تشکیل دهنده کاتالیست .....

۲۶	۱-۵-۲ فلز واسطه
۲۶	۲-۵-۲ کمک کاتالیست
۲۹	۱-۵-۲ اثر کمک کاتالیست بر پلیمریزاسیون
۲۹	۲-۵-۲ اثر کمک کاتالیست بر مورفولوژی پلیمر
۲۹	۲-۶-۲ اثر استخلاف های حلقه آریل بر روند پلیمریزاسیون
۳۱	۷-۲ مکانیسم پلیمریزاسیون
۳۱	۱-۷-۲ شرح مکانیسم
۳۲	۲-۷-۲ مکانیسم پلیمریزاسیون اتیلن با متیل آکریلات
۳۳	۸-۲ ساپورت
۳۵	۹-۲ سینیتیک پلیمریزاسیون
۳۹	فصل سوم: بخش تجربی
۴۰	۱-۳ مقدمه
۴۰	۲-۳ مواد
۴۳	۳-۳ وسایل و تجهیزات
۴۳	۳-۳-۱ گلاو باکس
۴۴	۳-۳-۲ سیرکولاتور مخصوص پلیمریزاسیون
۴۴	۳-۳-۳ پمپ خلاء
۴۵	۳-۳-۴ راکتور پلیمریزاسیون
۴۶	۴-۳ تجربی

۴۶	۱-۴-۳ روش تهیه لیگاندها
۴۶	۱-۱-۴-۳ سنتز ۲،۶-بیس /-۱ (۶،۲ دی ایزو پروپیل فنیل ایمینو) اتیل /پیریدین (لیگاند A)
۴۸	۲-۱-۴-۳ سنتز ۲،۶-بیس ۱-۲-دی متیل فنیل ایمینو) اتیل / پیریدین (لیگاند B)
۴۸	۳-۱-۴ سنتز لیگاند های مشتق شده با ترکیبات متیل ۶،۴،۲ و ۵،۲ - آنیلین (به ترتیب لیگاند-های C, D)
۵۱	۲-۴-۳ روش تهیه کاتالیست
۵۱	۳-۴-۳ محلول کمک کاتالیست
۵۱	۳-۵ پلیمریزاسیون اتیلن
۵۱	۳-۵-۱ پلیمریزاسیون در فشار پایین
۵۲	۳-۵-۲ پلیمریزاسیون در فشارهای بالای اتیلن
۵۲	۳-۶-۳ دستگاه ها و تکنیک های مورد استفاده
۵۳	۳-۶-۱ گرماسنجی روبشی تفاضلی (DSC)
۵۳	۳-۶-۲ میکروسکوپ الکترونی پویشی (SEM)
۵۴	۳-۶-۳ طیف سنجی مادون قرمز (FTIR)
۵۴	۳-۷-۳ ویسکومتر
۵۴	۳-۷-۱ اندازه گیری متوسط وزن مولکولی
۵۸	فصل چهارم: نتایج و بحث
۵۹	۴-۱ مقدمه

۶۳	۲-۴ تأثیر غلظت متیل آلومینوکسان (کمک کاتالیست)
۶۳	۳-۴ تأثیر نسبت <i>MAO/TIBA</i> بر پلیمریزاسیون
۶۵	۴-۴ تأثیر فشار بر پلیمریزاسیون
۶۹	۴-۵ تأثیر دما بر پلیمریزاسیون
۷۰	۴-۶ بررسی سینتیک پلیمریزاسیون (تأثیر زمان بر رفتار کاتالیست)
۷۴	۴-۷ تأثیر میزان حلال بر پلیمریزاسیون
۷۶	۴-۸ تأثیر غلظت گاز هیدروژن بر پلیمریزاسیون
۷۸	۴-۹ بررسی مورفولوژی بدست آمده
۹۰	فصل پنجم: نتیجه گیری و مراجع و ضمائم
۹۱	۵-۱ نتیجه گیری
۹۲	۵-۲ مرجع
۹۵	۵-۳ ضمائم

## فهرست شکل ها

۴.....	شکل ۱-۱ پلی اتیلن <i>LDPE , HDPE</i>
۵.....	شکل ۲-۱ کاتالیست های متالوسن
۶.....	شکل ۳-۱ واکنش بین کاتالیست متالوسن و <i>MAO</i>
۸.....	شکل ۴-۱ فرآیند <i>SHOP</i>
۹.....	شکل ۵-۱ الیگومریزاسیون اتیلن با کاتالیست <i>Late transition metal</i>
۱۲.....	شکل ۶-۱ گروه های کربونیل لیگاند های <i>Late transition metal</i>
۱۳.....	شکل ۷-۱ گروه های آمینی لیگاند های <i>Late transition metal</i>
۱۸.....	شکل ۲-۱ روش عمومی تهیه کاتالیست های <i>Late transition metal</i>
۲۲.....	شکل ۲-۲ ساختار کاتالیست بیس ایمینو پیریدین
۲۴.....	شکل ۳-۲ ساختار بلوری <i>(a) X-ray</i>
۲۵.....	شکل ۴-۲ ساختار بلوری <i>(b) X-ray</i>
۲۳.....	شکل ۵-۲ لیگاند های بیس ایمینو فوران و پیروول
۲۷.....	شکل ۶-۲ ساختار <i>MAO</i>
۳۱.....	شکل ۷-۲ مشاهده اثر استخلاف های حجیم و غیر حجیم حلقه آریل بر روند پلیمریزاسیون اتیلن
۳۲.....	شکل ۲-۸ مکانیسم پلیمریزاسیون کاتالیستی اتیلن با کاتالیست <i>Late metal</i>
۳۳.....	شکل ۹-۲ مکانیسم کوپلیمریزاسیون اتیلن با متیل آکریلات
۳۴.....	شکل ۱۰-۲ ساپورت کاتالیستی <i>Late transition metal</i>

..... ۳۵	شكل ۱۱-۲ روند آماده سازی ساپورت Fe-SBA-15
..... ۴۴	..... شکل ۱-۳ گلاو باکس
..... ۴۵	..... شکل ۲-۳ راکتور Buchi-bmd 300
..... ۴۷	..... شکل ۳-۳ تصویر NMR لیگاند ۶،۲- بیس / ۱-۶ دی ایزوپروپیل فنیل ایمنیو) اتیل / پیریدین
..... ۴۹	..... شکل ۳-۴ تصویر NMR لیگاند ۶،۲- بیس / ۱-۶ و ۶ تری متیل فنیل ایمنیو) اتیل / پیریدین .
..... ۵۰	..... شکل ۳-۵ لیگاندهای تهیه شده
..... ۵۷	..... شکل ۳-۶ ویسکومتر آبلهولد
..... ۶۲	..... شکل ۱-۴ تأثیر غلظت MAO بر پلیمریزاسیون کاتالیستی Late transition metal
..... ۶۴	..... شکل ۲-۴ تأثیر [MAO]:[TIBA] بر پلیمریزاسیون نکاتالیستی Late transition meta
..... ۶۵	..... شکل ۳-۴ مکانیسم شاخه دار شدن پلی اتیلن
..... ۶۷	..... شکل ۴-۴ تأثیر فشار مونومر بر پلیمریزاسیون توسط کاتالیست Late transition metal
..... ۶۸	..... شکل ۴-۵ ترموگرام DSC پلیمر تحت فشار ۳ بار
..... ۷۱	..... شکل ۴-۶ تأثیر دما بر پلیمریزاسیون توسط کاتالیست Co Late transition metal
..... ۷۳	..... شکل ۴-۷ تأثیر زمان بر پلیمریزاسیون توسط کاتالیست Co Late transition meta
..... ۷۵	..... شکل ۴-۸ تأثیر حلال بر پلیمریزاسیون توسط کاتالیست Co Late transition meta
..... ۷۸	..... شکل ۴-۹ اثر غلظت هیدروژن بر پلیمریزاسیون توسط کاتالیستی Late transition metal

- شکل ۴-۱۰ تصاویر SEM ذرات پلیمر هموژن با فشار ۱/۵ بار و دمای  $30^{\circ}C$  ..... ۸۲
- شکل ۴-۱۱ تصاویر SEM ذرات پلیمر هموژن با فشار ۳/۵ بار و دمای  $30^{\circ}C$  ..... ۸۳
- شکل ۴-۱۲ تصاویر SEM ذرات پلیمر هموژن با دمای  $30^{\circ}C$  و فشار ۱بار ..... ۸۴
- شکل ۴-۱۳ تصاویر SEM ذرات پلیمر هموژن با دمای  $30^{\circ}C$  و فشار ۱بار ..... ۸۵
- شکل ۴-۱۴ تصاویر SEM ذرات پلیمر هتروژن با فشار ۱/۵ و دمای  $30^{\circ}C$  ..... ۸۶
- شکل ۴-۱۵ تصویر SEM ذرات پلیمر هتروژن با فشار ۳/۵ بار و دمای  $30^{\circ}C$  ..... ۸۷
- شکل ۴-۱۶ تصویر SEM ذرات پلیمر هتروژن با دمای  $30^{\circ}C$  و فشار ۱ بار ..... ۸۸
- شکل ۴-۱۷ تصاویر SEM ذرات پلیمر هتروژن با دمای  $40^{\circ}C$  و فشار ۱ بار ..... ۸۸
- ضمیمه A شکل ۱ ترموگرام DSC نمونه پلیمردر دمای  $30^{\circ}C$  ..... ۹۵
- ضمیمه A شکل ۲ ترموگرام DSC نمونه پلیمردر دمای  $40^{\circ}C$  ..... ۹۶
- ضمیمه A شکل ۳ ترموگرام DSC نمونه پلیمردر دمای  $50^{\circ}C$  ..... ۹۷
- ضمیمه A شکل ۴ ترموگرام DSC نمونه پلیمر با افزایش  $20\text{ ml}$  گاز هیدروژن ..... ۹۸
- ضمیمه A شکل ۵ ترموگرام DSC نمونه پلیمر با افزایش  $40\text{ ml}$  گاز هیدروژن ..... ۹۹

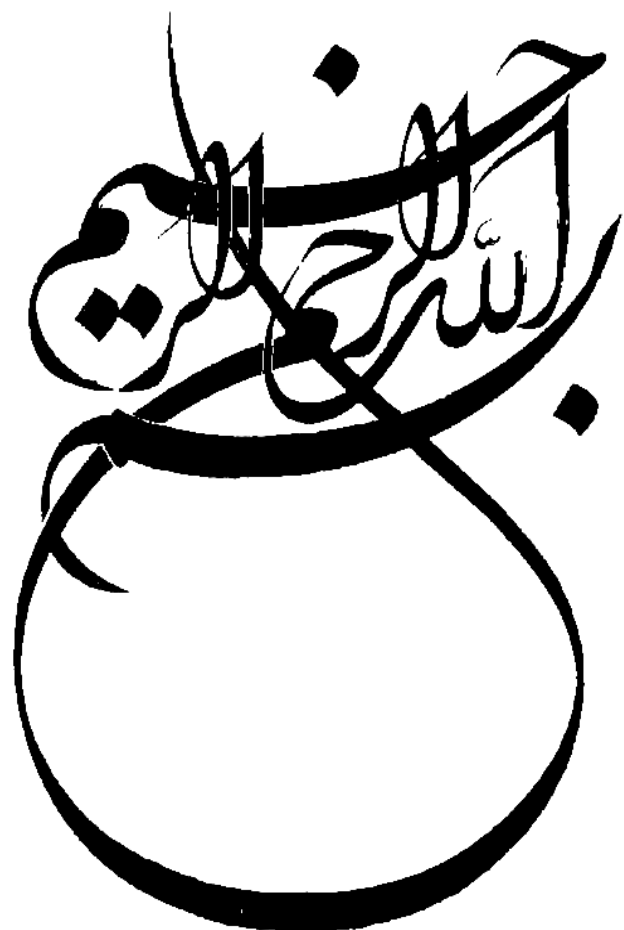
## فهرست جدولها

- جدول ۱-۱ لیگاند های مربوط به کی لیت  $N-N$  ..... ۱۴
- جدول ۱-۲ لیگاند های مربوط به کی لیت  $N-O$  ..... ۱۵
- جدول ۱-۳ لیگاند های مربوط به کی لیت  $P-O$  ..... ۱۶

جدول ۱-۳ محاسبه وزن مولکولی پلیمر.....	۵۶
جدول ۱-۴ تأثیر غلظت <i>MAO</i> بر رفتار پلیمریزاسیون کاتالیست <i>Late transition metal</i>	۶۱
جدول ۲-۴ تأثیر غلظت <i>MAO/TIBA</i> بر پلیمریزاسیون کاتالیست <i>Late transition metal</i>	۶۳
جدول ۳-۴ تأثیر فشار بر رفتار پلیمریزاسیون کاتالیست <i>Late transition metal</i>	۶۶
جدول ۴-۴ تأثیر دما بر رفتار پلیمریزاسیون کاتالیست <i>Late transition metal</i>	۷۰
جدول ۴-۵ تأثیر زمان بر رفتار پلیمریزاسیون کاتالیست <i>Late transition metal</i>	۷۲
جدول ۴-۶ تأثیر حلال بر رفتار پلیمریزاسیون کاتالیست <i>Late transition metal</i>	۷۴
جدول ۷-۴ تأثیر غلظت هیدروژن بر رفتار پلیمریزاسیون کاتالیست <i>Late transition metal</i>	۷۷
جدول ۸-۴ مقلیسه اکتیویته پلیمریزاسیون هموژن و هتروژن .....	۷۹
جدول ۹-۴ سایر نتایج پلیمر حاصل .....	۸۹

## اختصارات

<i>atm</i>	<i>Atmospher</i>
<i>DSC</i>	<i>Differentiel Scanning Calorhometry</i>
<i>HDPE</i>	<i>High Density Polyethylene</i>
<i>LDPE</i>	<i>Low Density Polyethylene</i>
<i>LLDPE</i>	<i>Linear Low Density Polyethylene</i>
<i>MAO</i>	<i>Methyl Alminoxane</i>
<i>PE</i>	<i>Polyethylene</i>
<i>PP</i>	<i>Polypropylene</i>
<i>PVC</i>	<i>Poly ( Vinyl Chloride )</i>
<i>rpm</i>	<i>Rotation per minute</i>
<i>SEM</i>	<i>Scanning Electron Microscopy</i>
<i>SHOP</i>	<i>Shell Higher Olefin Process</i>
<i>TIBA</i>	<i>Triisobutyl Aluminium</i>



فصل اول

## فصل اول

مقدمه ای بر پلیمریزاسیون

کاتالیستی اتیلن

## ۱-۱ مقدمه

صنعت پلی اولفین یکی از معروف‌ترین، پر رونق‌ترین و متداول‌ترین صنایع در سطح جهان به شمار می‌آید. همگام با پیشرفت صنعت تولید پلی اولفین‌ها، مصرف جهانی آن نیز با رشد سعودی افزایش یافت. در دههٔ شصت میلادی سهم پلی اولفین‌ها در بازار جهانی ترموموپلاستیک‌ها ۲۰ درصد بود، اما در سال ۲۰۰۰ این میزان به ۶۵ درصد رسید. در واقع پلی اولفین‌ها توانستند جانشین مناسبی برای بسیاری از ترموموپلاستیک‌ها گردند. سالانه بالغ بر ۱۶۰ بیلیون پوند درآمدزاًی از صنعت پلی اولفین‌ها بدست می‌آید که در این میان تنها پلی اتیلن از جمله پرمصرف‌ترین پلی اولفین‌ها با مبلغی افزودن بر ۱۰۰ بیلیون پوند را دارا می‌باشد. علی‌رغم این مقدار و همچنین سهم عمدهٔ پلی اتیلن در تجارت پلی اولفین‌ها، همچنان تولید آنها به سرعت در حال رشد می‌باشد [۲، ۱].

## ۱-۲ تاریخچهٔ پلیمریزاسیون کاتالیستی اتیلن

طی ۵۰ سال اخیر پیشرفت‌های قابل ملاحظه‌ای در زمینهٔ پلیمریزاسیون اتیلن صورت گرفته است. تا قبل از ۱۹۲۰ که زمینه ساختار زنجیر مولکولی و وزن مولکولی پلیمرها ارائه شد، پلیمرها چندان مورد توجه نبودند. البته این فرضیه با مقاومت و مخالفت جدی روبرو شد. در طول دههٔ ۱۹۳۰ تولید پلاستیک‌های متعددی از قبیل پلی وینیل کلرید *PVC*, پلی استایرن، پلی متیل متاکریلات، پلی اتیلن سبک و نایلون به مرحله تجاری رسید.

*ICI* در سال ۱۹۳۹ تولید پلی‌اتیلن تجاری را شروع کرد. شرایط فرآیند تولید، فشار بالا ( $atm$ ) و دمای بالا ( $^0C ۲۰۰-۳۰۰$ ) در حضور یک آغازگر رادیکالی نظیر بنزویل پروکسید بود. محصول فرآیند، جامدی سفید رنگ و واکسی شکل بود. پلیمر حاصل پلی‌اتیلن با دانستیه پایین<sup>۱</sup> نام داشت. شکل (I-1(a) در دهه ۱۹۳۰ در چندین پلیمرسنتزی، بلورینگی پایینی مشاهده شد. در سال ۱۹۳۰، شیمیدانان با پلی‌اتیلن بلوری آشنا شدند. البته شاخه‌های جانبی زنجیره‌های پلیمری، در صد بلورینگی را تا حدی کاهش می‌داد. اما در مورد پلی‌پروپیلن، هیچ نوع بلورینگی حتی در حد اندک نیز مشاهده نشد. علت این پدیده را متقارن بودن اتیلن بیان کردند.

در پلیمریزاسیون اتیلن به علت تقارن مونومر، تنوع نحوه اتصال (سر به دم، سربه سر، دم به دم) وجود ندارد و بنابراین قابلیت نوری شدن دارد ولی در مورد پلی‌پروپیلن ایزوتاكتیک، بلورینگی پلی‌پروپیلن محصول پلیمریزاسیون فضا ویژه مونومر نامتقارن پروپیلن (ورود سر به دم مونومرهای همزمان بدون تشکیل هر گونه شاخه) می‌باشد.

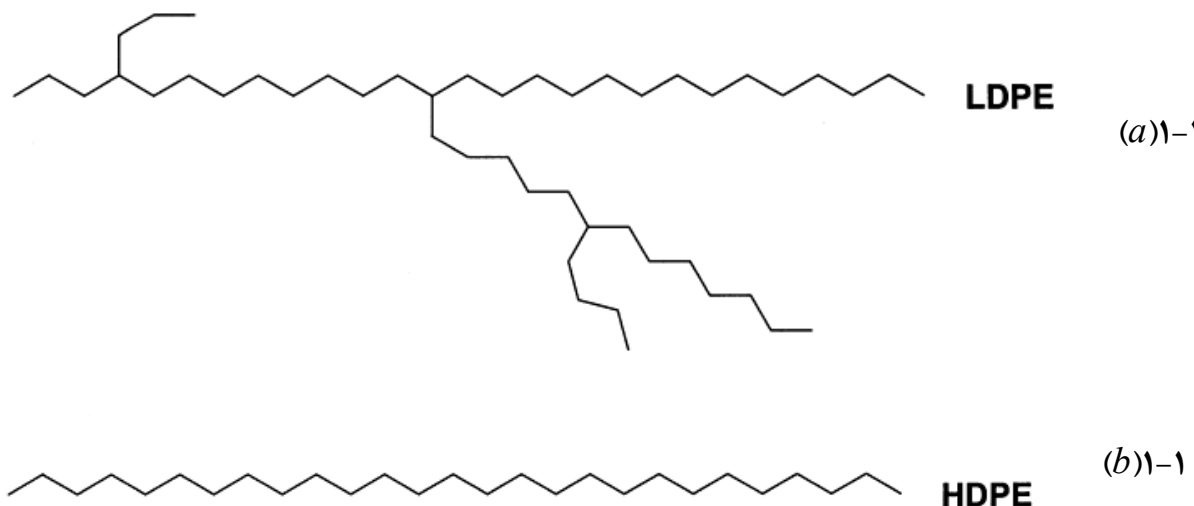
### ۱-۲-۱ کاتالیست زیگلر-ناتا

در سال ۱۹۵۳، زیگلر و همکارانش مخلوطی از کاتالیست  $AlEt_2Cl$ ,  $TiCl_4$  را کشف نمودند که اتیلن را به پلی‌اتیلن خطی با وزن مولکولی بالا تحت شرایط نسبتاً

<sup>۱</sup> - LDPE (Low density poly ethylene)

نمایدہ می شود.

زیرا در این حالت زنجیره‌های پلیمر نسبت به پلی اتیلن با دانسیتیهٔ پایین محاکم‌تر کنار هم قرار می‌گیرند. شکل (I-1(b)) شما می‌بینید که این نوع پلیمر را نشان میدهد.



## شکل ۱-۱ پلی اتیلن و HDPE LDPE

در همین سال‌ها شرکت نفت فیلیپس سیستم کاتالیستی  $CrO_3/SiO_2$  را کشف نمود که این کاتالیست نیز پلی اتیلن خطی تولید می‌کرد. چند سال بعد از کشف زیگلر، جولیو ناتا و همکارانش سیستم مشابه سیستم زیگلر را تهییه نمودند که برای پلیمریزاسیون پروپیلن کاربرد بسزایی داشت. ناتا با بررسی نتایج بدست آمده از  $X-ray$  پلی پروپیلن، متوجه بلورینگی بالای آن شد و سه نوع آرایش‌بندی را برای آن تعریف نمود [۳]. به دلیل مشارکت در سنتز این نوع کاتالیست، زیگلر- ناتا موفق به دریافت جایزه نوبل شیمی در سال ۱۹۶۳ میلادی شدند.

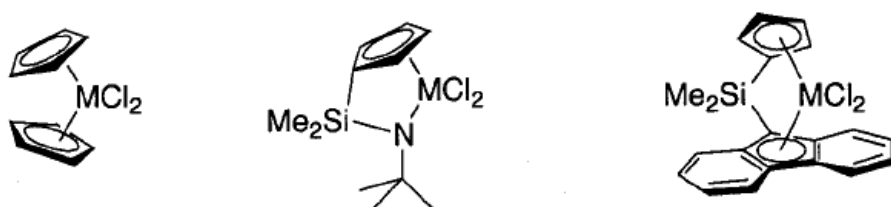
<sup>1</sup> - HDPE (*High density polyethylene*)

البته سیستم‌های هتروژن کشف شده توسط زیگلر- ناتا دارای اشکالاتی نیز بود. سیستم‌های هتروژن به آسانی تابع تغییرات فضایی والکترونی نبودند، به همین علت درجه ریز ساختار نیز تغییر نمود که باعث تغییر در خواص ماکروسکوپی پلیمر گردید.

## ۲-۲-۱ کاتالیست‌های متالوسن

تحقیقات اولیه بر روی کاتالیست‌های فلزی واسطه گروه ۴، بیس سیکلو پنتادی‌انیل شبیه  $M=Cp_2MCl_2$  (متمرکز شد. زمانی که با فعال کننده آلکیل آلومینیم ترکیب شوند منجر به تشکیل کاتالیست‌های پلیمرایزاسیون فعال می‌شود. طی ۲۰ سال گذشته تغییراتی در ساختار کاتالیست‌های متالوسن صورت گرفته است که فعالیت‌پذیری آن را تقویت نموده است. همچنانی باعث بهبود نیم عمر این نوع کاتالیست شده است که در نهایت باعث کنترل ریز ساختار پلی اولفین می‌شود. پلیمرهای حاصل از این نوع کاتالیست، پلی اتیلن خطی با دانسیتیٰ پائین<sup>۱</sup> نامیده می‌شود. شکل (۱-۲) کاتالیست‌های سنتز شده توسط Waymouth، Bercaw

می‌باشد.

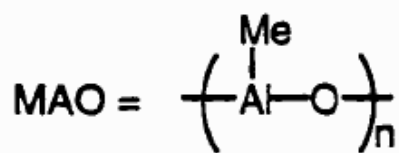
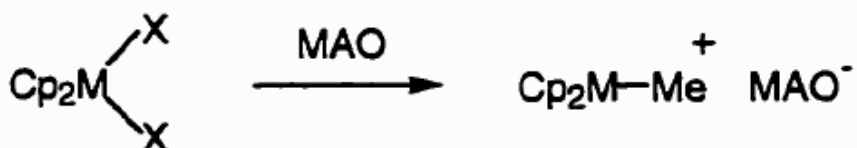


شکل ۱-۲ کاتالیست‌های متالوسن.

<sup>۱</sup> - LLDPE (Linear low density poly ethylene)

### ۱-۲-۲-۱ فعال‌سازی کاتالیست متالوسن

با مخلوط کردن محلول هیدروکربن  $Cp_2MCl_2$ ، متیل آلومینوکسان ( $MAO$ ) همانطور که در شکل (۳-۱) دیده می‌شود واکنش جابجایی لیگاند سریعی برای تولید  $Cp_2MMe$  و همچنین  $Cp_2MClMe$  در مجاورت مقدار اضافی  $MAO$  رخ می‌دهد و سیستم از نظر کاتالیستی فعال می‌گردد. مدارک طیف سنجی موافق با این فرضیه است که مراکز اسیدی موجود در  $MAO$  قادر به قبول آنیون‌های  $CH_3^+$  (یا  $Cl^-$ ) از متالوسن آلکیل‌دار شده هستند و بدین ترتیب تولید کاتیون آلکیل‌دار شده متالوسن می‌کنند که گونه فعال پلیمر شدن و یون مخالفی است که به طور ضعیفی کئور دینه شده است [۴].



شکل ۱-۳ واکنش بین کاتالیست متالوسن و  $MAO$